

# Traitement Numérique de l'Image

## Pré-Traitements

TELECOM Nancy 2<sup>ème</sup> Année

Vincent Bombardier  
(M&C HC 61<sup>ème</sup> Section)

Centre de Recherche en Automatique de Nancy - UMR CNRS 7039-  
Département: Ingénierie des Systèmes Eco-Technique  
Projet Systèmes Intelligents Ambiants

Version du vendredi 6 septembre 2024

Vendredi 6 septembre 2024

Vincent Bombardier

ISET

1

## Pré-traitements : Modèle de vision artificielle

```

graph TD
    SA[Numérisation  
Mémoire] --> PT[Prétraitements]
    PT --> S[Segmentation]
    S --> I[Interprétation]
    I --> D[Décision]
    D --> IO[Informations  
Extraites  
= Objectif]
    SA --> SA2[Produit - Objet  
Cible]
    SA2 --> E[ECLAIRAGE]
    SA2 --> M[Montage  
d'observation]
    SA2 --> C[CAPTEUR]
    E --> PT
    M --> PT
    C --> PT
    E --> Env[Environnement]
    M --> Env
    C --> Env
    
```

Version du vendredi 6 septembre 2024

Vendredi 6 septembre 2024

Vincent Bombardier

12

2

## Pré-traitements : Modèle de vision artificielle

➤ Choisir en fonction d'un objectif précis :

- Amélioration, Restauration, Détection de contours, Classification, Compression, ...

Version du vendredi 6 septembre 2024

Vendredi 6 septembre 2024

Vincent Bombardier

13

3

## Pré-traitements : 3 catégories de traitements

**Image origine**      **Image traitée**

**T**

**Traitement au niveau du pixel:**  
 $g(x_0, y_0) = T[f(x_0, y_0)]$   
 Look Up Table, Histogramme

**Traitement aux environs du pixel:**  
 $g(x_0, y_0) = T[f(V)]$   
 V: voisinage de  $(x_0, y_0)$   
 Filtrage linéaire, non-linéaire, Morphologie mathématique

**Traitement global:**  $g(x_0, y_0) = T[f(x, y)]$   
 Transformée Cosinus, Fourier, ondelettes...

Version du vendredi 6 septembre 2024

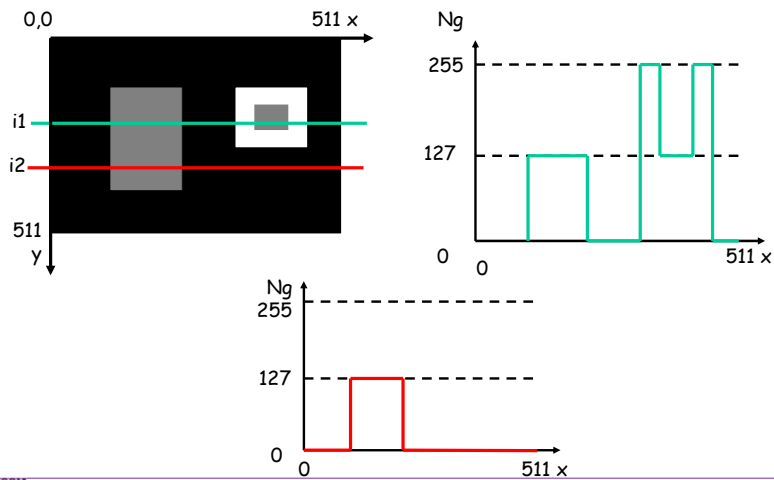
Vendredi 6 septembre 2024

Vincent Bombardier

14

4

## Pré-traitements : Profil de ligne



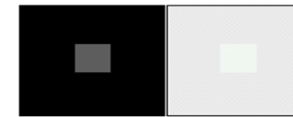
5

## Pré-traitements : Contraste - Brillance - Intensité

- Mesure relative des différences dans l'image

$$C = \left| \frac{I_p - I_n}{I_n} \right|$$

$$C = \Delta B \approx \frac{\Delta I}{I}$$



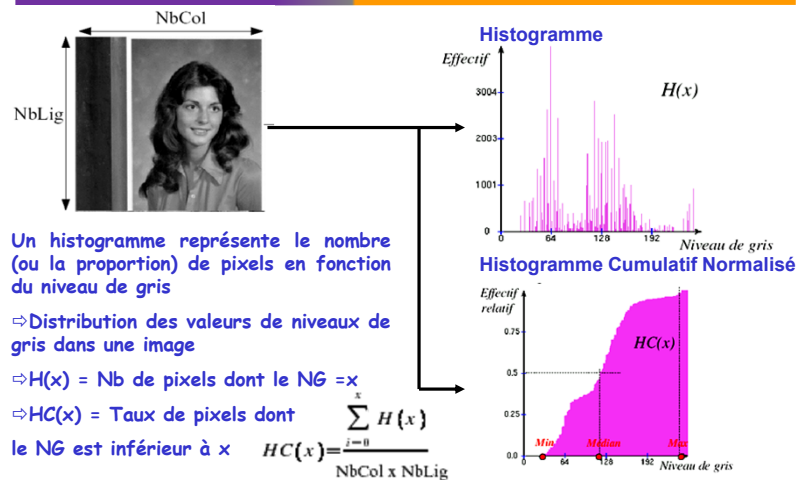
Autres définitions :

$$C = \sqrt{\frac{1}{NM} \sum_{i=0}^{N-1} \sum_{j=0}^{M-1} (I(i,j) - I_{moy})^2}$$

$$C = \frac{\max[I(i,j)] - \min[I(i,j)]}{\max[I(i,j)] + \min[I(i,j)]}$$

6

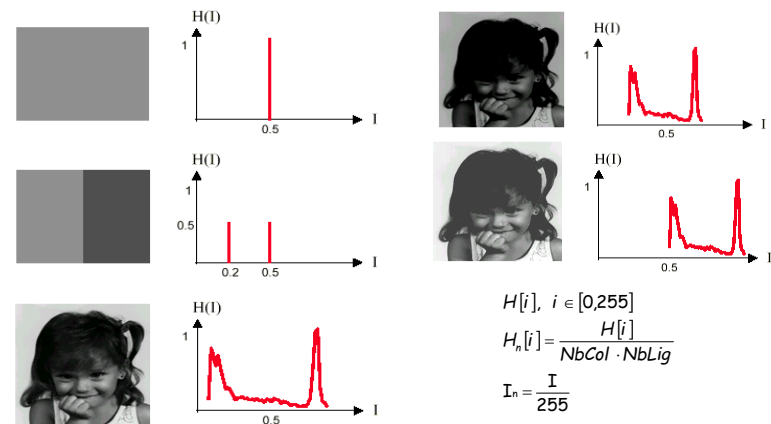
## Pré-traitements : Histogramme



7

## Pré-traitements : Histogramme

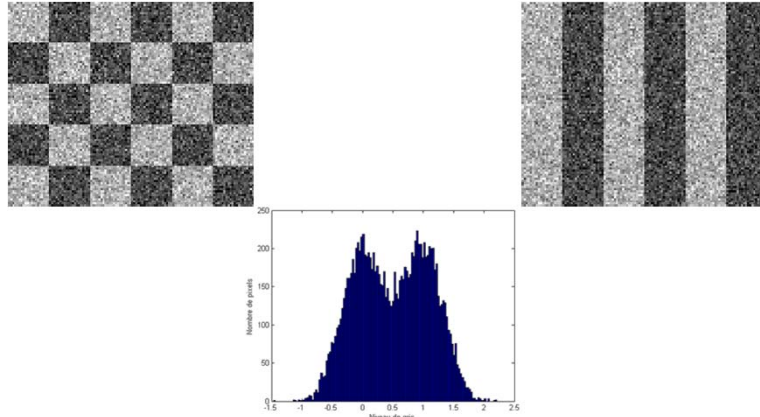
Histogrammes normalisés



8

## Pré-traitements : Exemples d'histogrammes

Pas d'information spatiale !!!!



10

## Pré-traitements : Table de Transfert (LUT)

→ Utilisation d'une Table de Transfert ou LUT (Look Up Table)

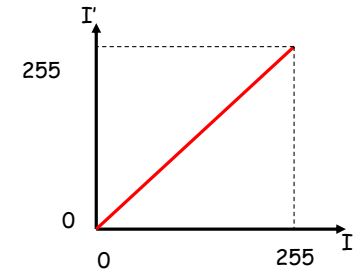
```
/* Initialisation de la LUT à rampe croissante */
Pour i=0 à 255
    LUT[i] = i;
```

```
/* Application de la LUT */
Pour i=1 à nblig
    Pour j=1 à nbcol
        I'(i,j) = LUT[I(i,j)];
```

**I** : Niveau de Gris d'entrée

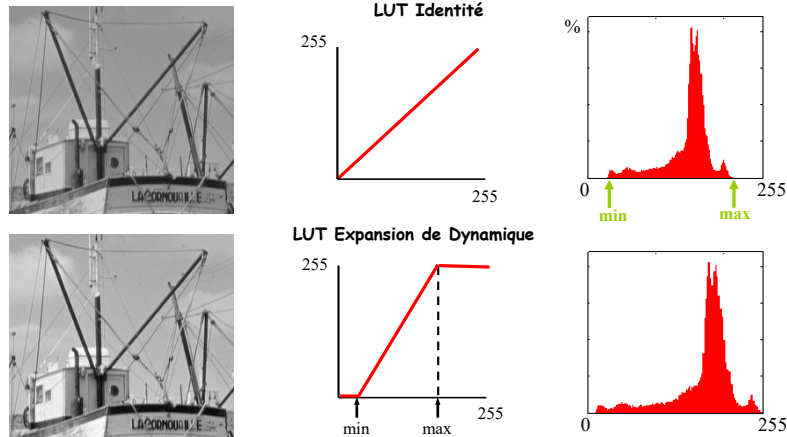
**I'** : Niveau de Gris de Sortie

$I'(x,y) = F(I(x,y))$



11

## Pré-traitements : Expansion de dynamique



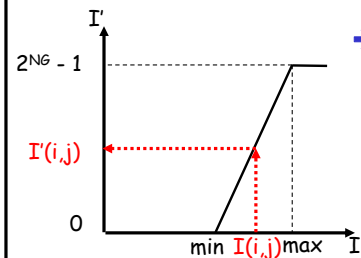
12

## Pré-traitements : Expansion de dynamique

→ Implémentation

```
/* Initialisation de la LUT */
Pour i=0 à 2NG - 1
    LUT[i] = (2NG - 1) * (i - minI) / (maxI - minI);
```

```
/* Application de la LUT */
Pour i=1 à nblig
    Pour j=1 à nbcol
        I'(i,j) = LUT[I(i,j)];
```



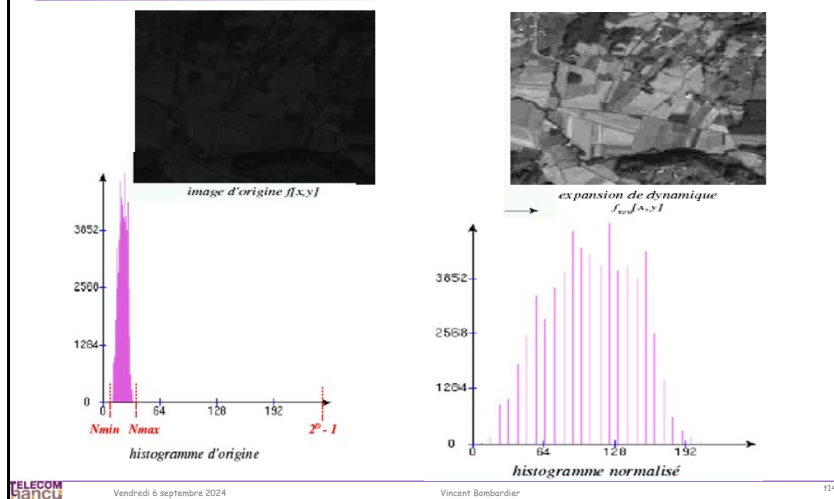
$$\frac{\max - \min}{I(i,j) - \min} = \frac{(2^{NG} - 1) - 0}{I'(i,j) - 0}$$

Alors

$$I'(i,j) = \frac{(2^{NG} - 1)}{\max - \min} (I(i,j) - \min) \quad \text{avec} \quad \frac{(I(i,j) - \min)}{\max - \min} \in [0,1]$$

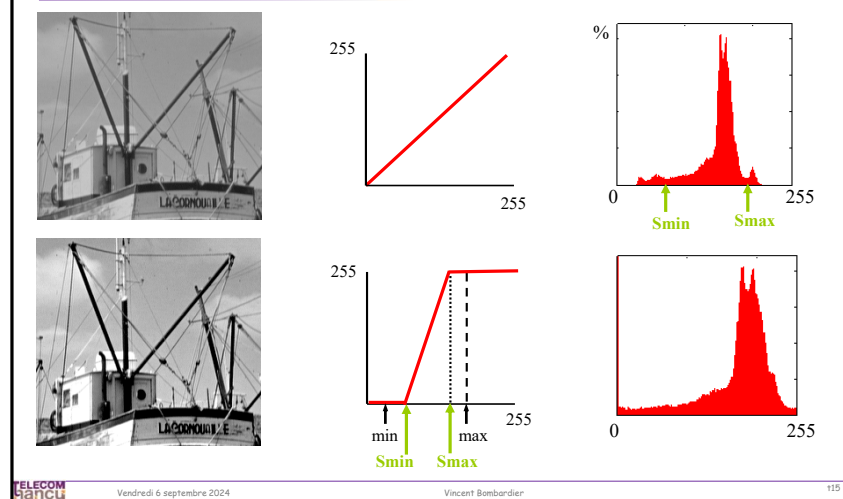
13

## Pré-traitements : Expansion de dynamique



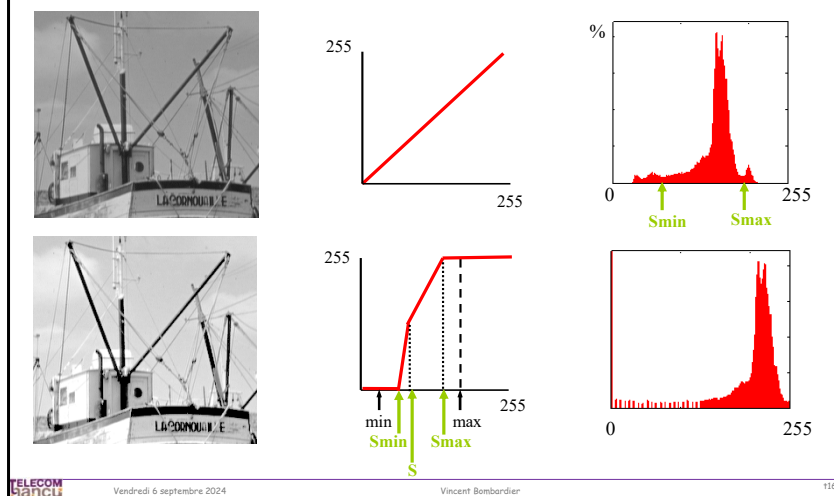
14

## Pré-traitements : Transformation linéaire avec saturation



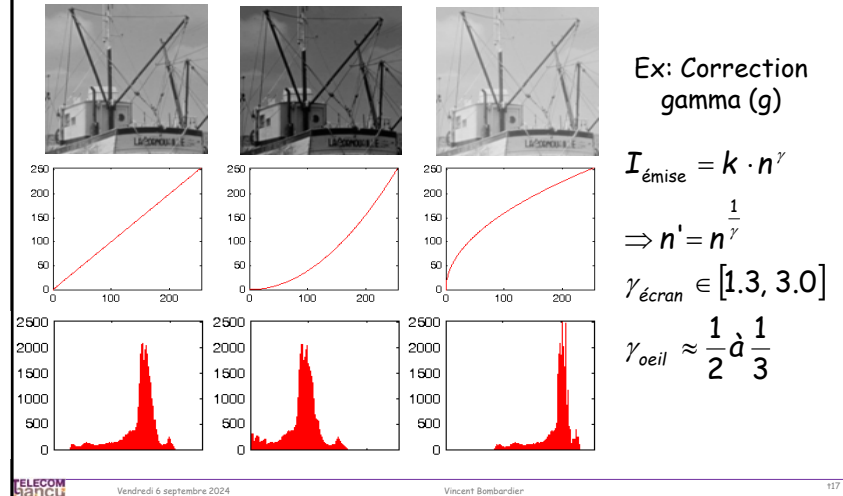
15

## Pré-traitements : Transformation linéaire par morceaux



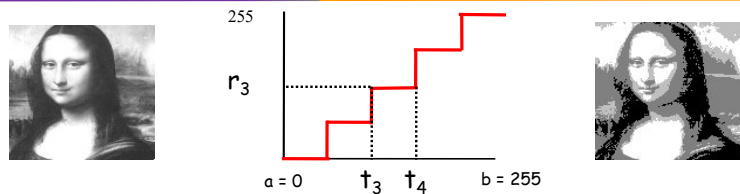
16

## Pré-traitements : Transformation non-linéaire



17

## Pré-traitements : Re - Quantification



On veut quantifier les valeurs originales en  $N$  niveaux. Les valeurs de transition  $T_k$  et de reconstruction  $R_k$  sont données par :

$$T_k = (k - 1) * W \quad \text{avec} \quad W = (b - a) / N$$

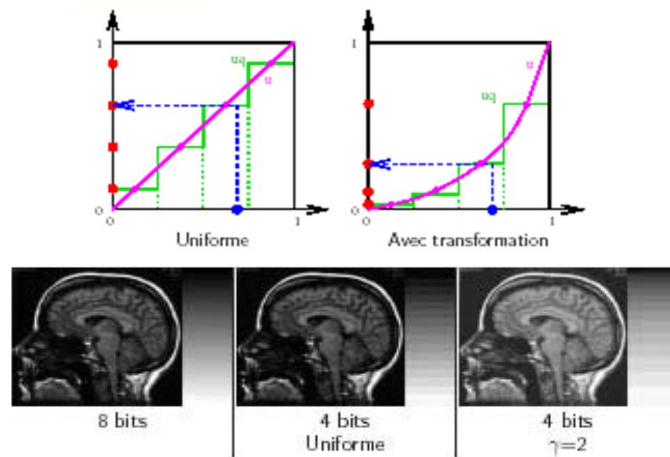
$$R_k = T_k * \frac{N}{N - 1} \quad \text{pour} \quad k = 1 \dots N$$

L'intervalle  $(b-a)/N = T_k - T_{k-1}$  est constant, et est appelé l'intervalle de quantification.

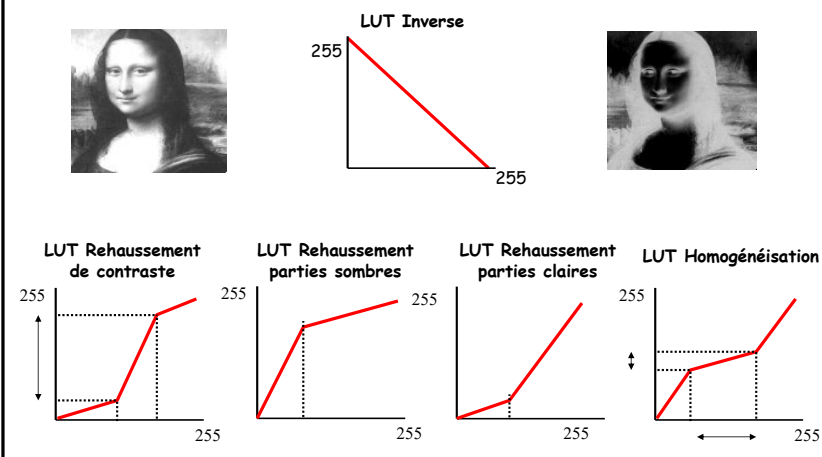
## Pré-traitements : Quantification : exemple



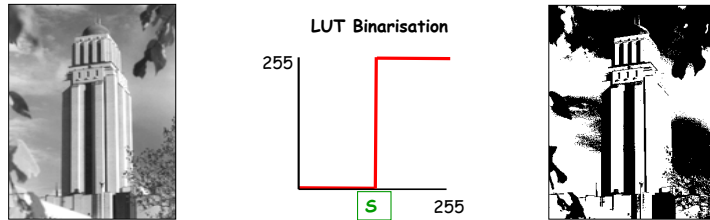
## Pré-traitements : Quantification non-uniforme



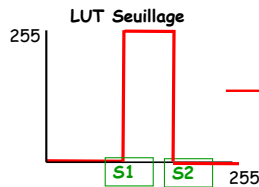
## Pré-traitements : Autres



## Pré-traitements : Binarisation - Seuillage



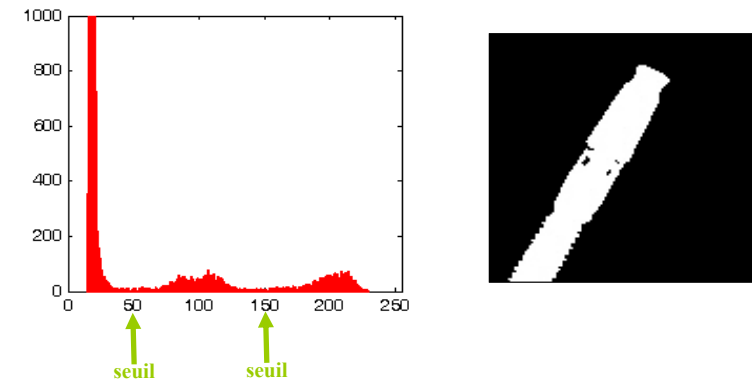
$$I'(i,j) = 255 \text{ si } I(i,j) > \text{seuil} \quad I'(i,j) = 0 \text{ sinon}$$



$$I'(i,j) = 255 \text{ si } s2 > I(i,j) > s1 \\ I'(i,j) = 0 \text{ sinon}$$

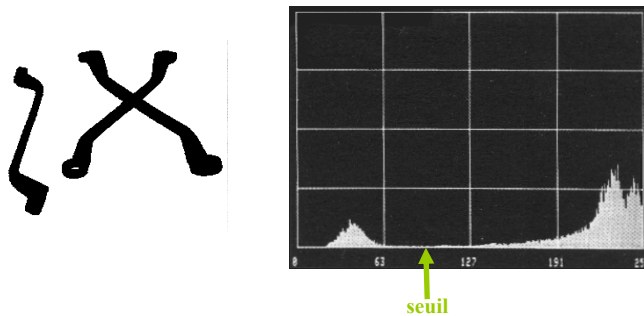
22

## Pré-traitements : Choix de seuil par histogramme



23

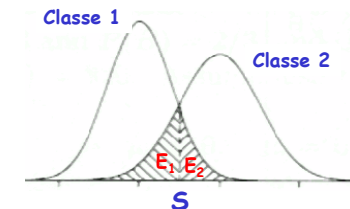
## Pré-traitements : Choix des seuils optimaux (1 seuil) (minimisation de la probabilité d'erreur)



24

## Pré-traitements : Choix des seuils (optimaux)

- 2 surfaces (arrière-plan et objet) dans une image
- Si nous supposons des modèles mathématiques pour les distributions (gaussiennes etc.)
- On peut déterminer la probabilité d'erreur de classification dans les classes 1 et 2 (surfaces 1 et 2)
- On cherche alors un seuil  $S$  qui causera une erreur minimale

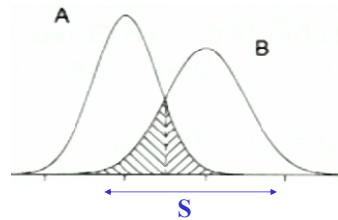


25

## Pré-traitements : Algorithme de Otsu

- On balaye toutes les valeurs de seuil possible  $S$
- Pour chaque seuil  $S$  :
  - ↳ On calcule les moyennes et les variances de chaque classe
  - ↳ On s'intéresse à la variance intra-classes

Moyennes :  $\mu_1$  et  $\mu_2$   
 Variances :  $\sigma_1^2$  et  $\sigma_2^2$   
 Variance Intra-classes :  
 $\sigma_w^2 = p_1 \cdot \sigma_1^2 + p_2 \cdot \sigma_2^2$   
 Le seuil optimal est celui qui donne  $\sigma_w$  minimum



$$\sigma_1^2 = \frac{1}{S} \sum_{i=0}^{S-1} (H(i) - \mu_1)^2$$

$$\sigma_2^2 = \frac{1}{256 - S} \sum_{i=S}^{255} (H(i) - \mu_2)^2$$

$$\mu_1 = \frac{1}{S} \sum_{i=0}^{S-1} h(i) \quad p_1 = \frac{1}{NbLig \cdot NbCol} \sum_{i=0}^{S-1} H(i)$$

$$\mu_2 = \frac{1}{256 - S} \sum_{i=S}^{255} h(i) \quad p_2 = \frac{1}{NbLig \cdot NbCol} \sum_{i=S}^{255} H(i)$$

- Basé sur le fait que les classes sont bien définies et regroupées

## Pré-traitements : Exponential fit

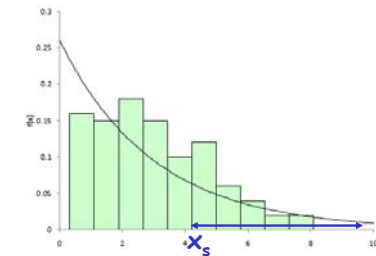
- On approxime l'histogramme par une exponentielle décroissante:

$$f(x) = 1/\mu * e^{(-x/\mu)}$$

Avec  $\mu$  moyenne de niveau de gris

- Le seuil est calculé en fonction du pourcentage  $A$  de pixels attribué à l'objet:

$$\int_{x_s}^{255} f(x) dx = A * \int_0^{255} f(x) dx$$

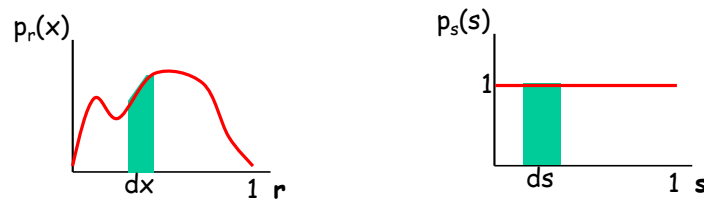


## Pré-traitements : Égalisation d'histogramme

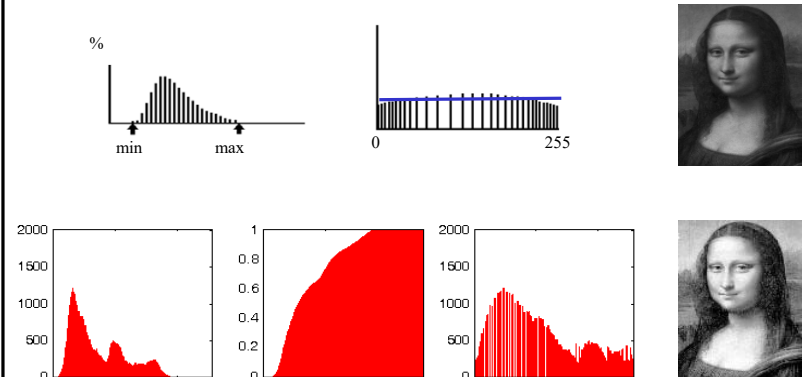
- Définition : Pour une variable aléatoire continue, et dans le cas courant où  $\Omega$  est un intervalle  $[a, b] \subseteq \mathbb{R}$ , on définit la notion de fonction de répartition  $F$  de  $X$  comme :

$$F(x) = P(X < x) = \int_a^x p_x(t) dt = HC(x)$$

- En discret on parlera d'histogramme cumulé



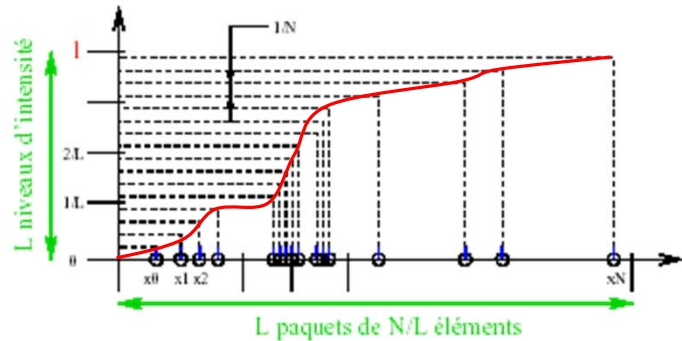
## Pré-traitements : Égalisation d'histogramme





## Pré-traitements : Interprétation intuitive

- L'égalisation revient à grouper par paquets de  $L$  éléments les intensités de l'image de départ.
- L'image par HC de deux niveaux de gris successifs est séparée par la même distance.
- L'image par HC de  $x_k$  ( $k < N/L$ ) est dans l'intervalle  $[0, 1/L]$ .



## Pré-traitements : Implémentation cas discret

$$I'(i,j) = (2^{Ng} - 1) \cdot \frac{HC(I(i,j))}{NbLig.NbCol}$$

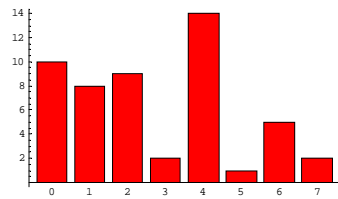
Image I, S ;  
float H[256], phi[256] ;  
% Calcul de l'histogramme (densité de probabilité)  
H = Histogramme(I) ;  
% Calcul de HC  
Pour k=0 ; k<256 ; k++

$$HC[k] = (2^{Ng} - 1) \cdot \sum_{j=0}^k H[j]$$

% Appliquer la transformation  $S=HC[I]$

Pour (i,j) dans l'image  
 $S[i,j] = (\text{int}) HC[I[i,j]]$

## Pré-traitements : Cas discret

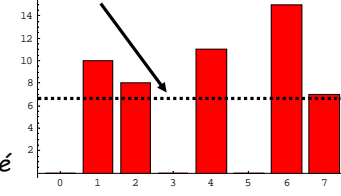


- Histogramme aussi plat que possible
- L'ordre des NdG est maintenu (monotone croissante)
- Les rectangles (barres) ne sont pas fragmentés (monotone croissante)

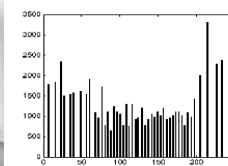
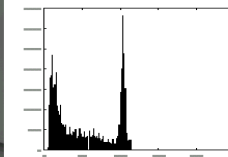
Valeur moyenne idéale:  
51 pixels/8 NG=6.375

10/51\*7=1.37    29/51\*7=3.98    49/51\*7=6.73  
18/51\*7=2.47    43/51\*7=5.90    51/51\*7=7.0  
27/51\*7=3.7    44/51\*7=6.04

$$HC[i] = \sum_{j=0}^i H_n[j] \quad \text{avec } H_n \text{ histo. normalisé}$$

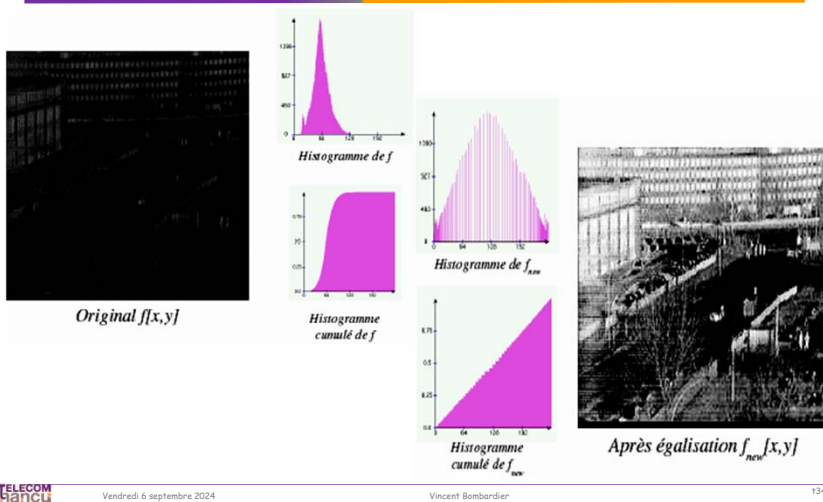


## Pré-traitements : Exemple sur image réelle





## Pré-traitements : Exemple sur image réelle



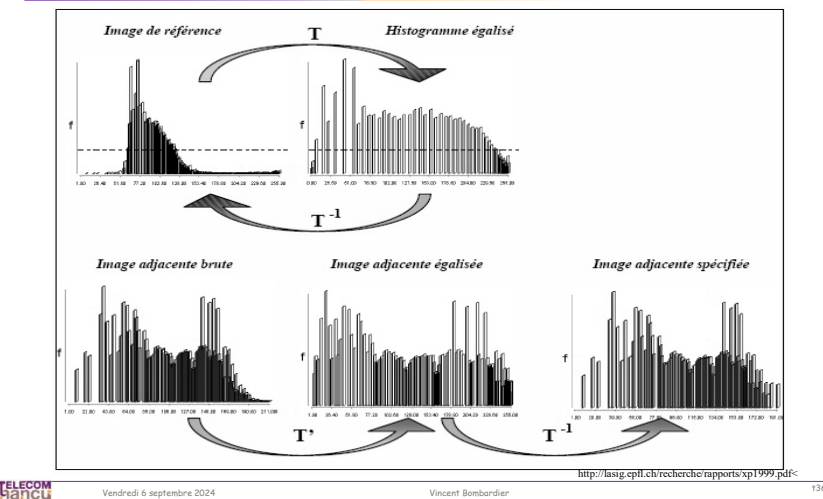
34

## Pré-traitements : Spécification d'histogramme (histogram matching)

- On ajuste l'histogramme d'une image à celui de l'image de référence
- Par ex : pouvoir comparer 2 images
- Principe :  
On utilise l'histogramme d'une image comme référence, et on modifie l'histogramme de l'autre image afin que les images soient similaires

35

## Pré-traitements : Spécification d'histogramme : Principe



36

## Pré-traitements : Spécification d'histogramme : Exemple

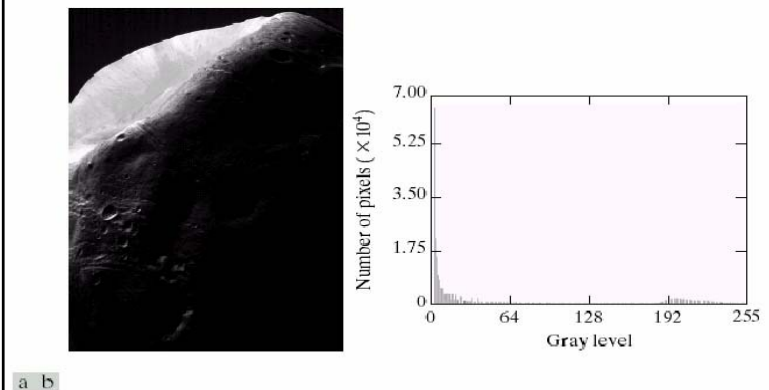
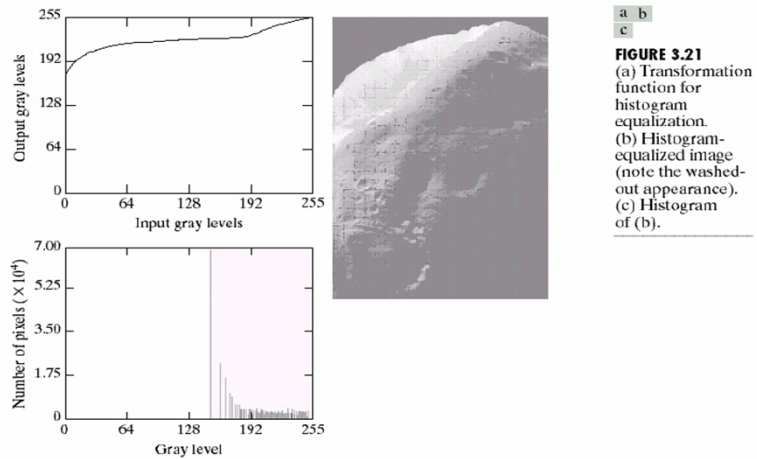


FIGURE 3.20 (a) Image of the Mars moon Phobos taken by NASA's *Mars Global Surveyor*. (b) Histogram. (Original image courtesy of NASA.)

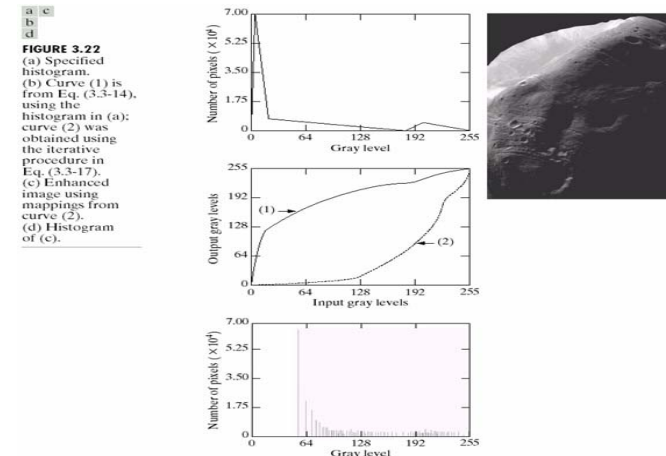
37

## Pré-traitements : Spécification d'histogramme : Exemple



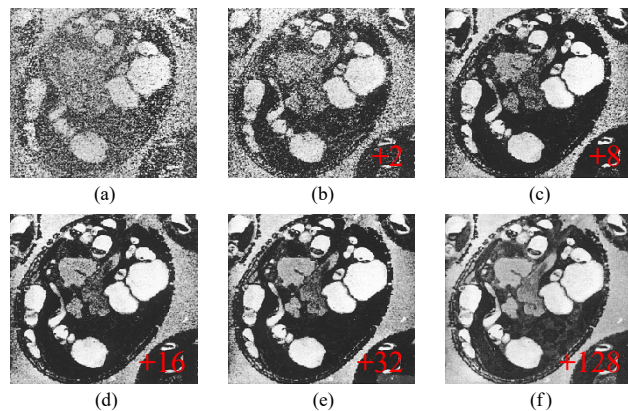
38

## Pré-traitements : Spécification d'histogramme : Exemple



39

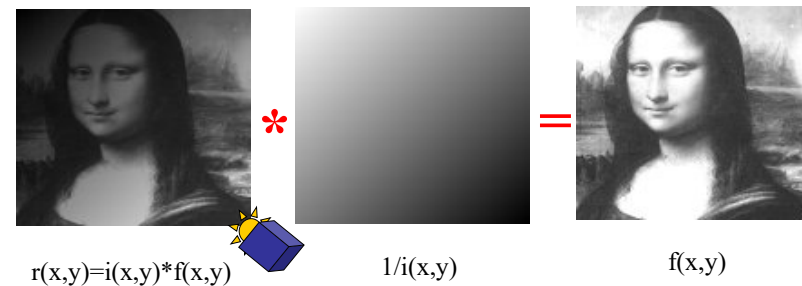
## Pré-traitements : Suppression du bruit [somme d'images et moyenne]



Recalage adéquat!

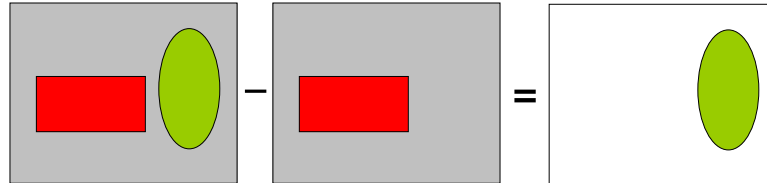
40

## Pré-traitements : Opérations logiques : + - \* / ET OU XOR NON



41

## Pré-traitements : Soustraction d'images



$$| \text{ImageCourante} - \text{ImageRéférence} | > \text{Seuil}$$

## Pré-traitements : Exemple : vidéo surveillance



Image courante



Image de fond



Soustraction d'images



Seuillage



Fermeture



Affichage



## Pré-traitements : Modélisation du Fond

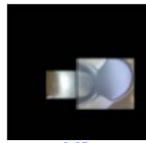
### Modèle de mixture de Gaussiennes (GMM)

$$P(y) = \sum_{i=1}^K \omega_i G(y, \mu_i, \Sigma_i)$$

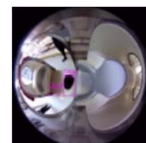
où K est le nombre de distributions gaussiennes, représentées par leur moyenne  $\mu_i$ , leur poids  $\omega_i$  et leur matrice de covariance  $\Sigma_i$  (typiquement  $\Sigma = \sigma$ ).



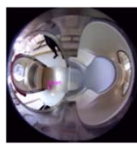
Image de fond



ROIs

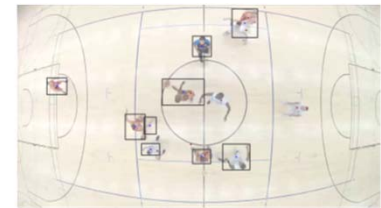
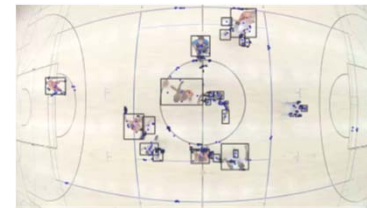


Soustraction directe



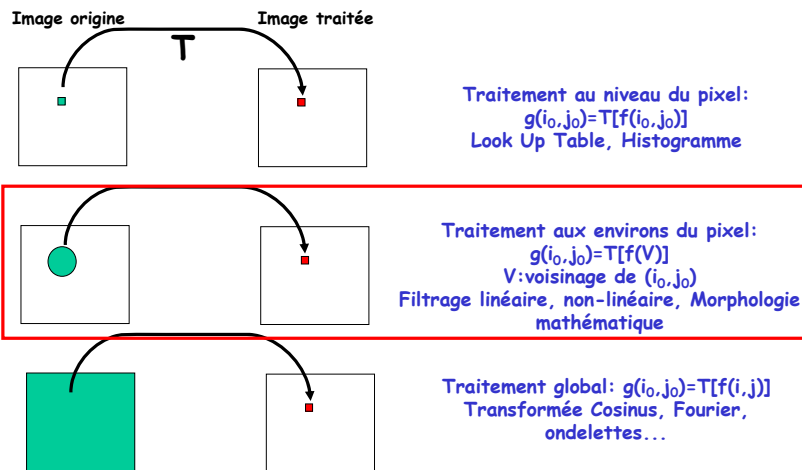
« Soustraction » GMM

## Pré-traitements : Séquences d'images



$$| \text{Image}(t-k) - \text{Image}(t) | > \text{Seuil}$$

## Pré-traitements : 3 catégories de traitements



46

## Pré-traitements : Filtrage Spatial

### ➤ Filtrage Linéaire : Convolution

- ↳ Passe-bas :
  - Lissage : réduction du bruit
- ↳ Passe-haut :
  - Accentuation des contours

### ➤ Filtrage non-linéaire : Modèle ensembliste

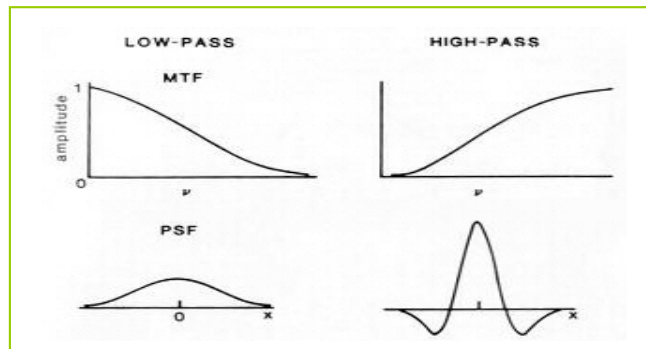
- ↳ Médian
- ↳ Morphologie mathématique

47

## Pré-traitements : Filtrage Spatial

Domaine fréquentiel

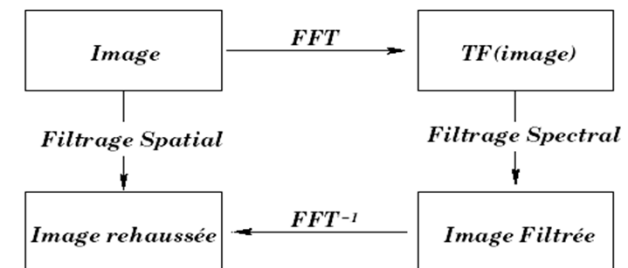
Domaine spatial



- MTF (Modulation Transfer Function) : Fonction de transfert du filtre
- PSF (Point Spread Function) : Fonction d'Étalement du Point ( $\approx$  R.I.)

48

## Pré-traitements : Convolution - Produit



CORRESPONDANCE CONVOLUTION / PRODUIT

$$f[i, j] * h[i, j] \rightarrow F[u, v] \cdot H[u, v]$$

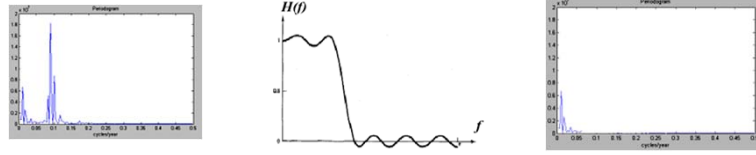
$$f[i, j] \cdot h[i, j] \rightarrow F[u, v] * F[u, v]$$

49

## Pré-traitements : Correspondance fréquentiel - Spatial

### ➤ Filtrage fréquentiel :

$$G(u,v) = F(u,v) \cdot H(u,v)$$



### ➤ Filtrage Spatial :

↳ Grâce à la correspondance Convolution - Produit dans la transformée de Fourier, le filtrage de l'image  $F(u,v)$  par le filtre  $H(u,v)$  se traduit dans le domaine spatial par la convolution de l'image  $f(x,y)$  par la R.I. du filtre  $h(x,y)$  :

$$\mathcal{F}^{-1} \{ F(u,v) \cdot H(u,v) \} = f(i,j) * h(i,j) = g(i,j)$$

## Pré-traitements : Implantation des filtres linéaires

### ➤ Convolution Directe par noyau

- ↳ Séparable ou non
- ↳ Filtres à Réponse Impulsionnelle Finie (FIR)
- ↳ Temps de calcul :  $O(K^2 N^2)$  ou  $O(KN^2)$

### ➤ Implémentation récursive

- ↳ Application causale et anticausale
- ↳ Filtres à Réponse Impulsionnelle Infinie (IIR)
- ↳ Temps de calcul :  $O(N^2)$

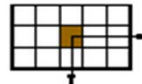
### ➤ Multiplication dans le domaine de Fourier

- ↳ Temps de calcul :  $O(N \cdot \log_2(N))$

## Pré-traitements : Convolution Discrète 2D

– Le domaine de l'image et le support de  $H$  sont bornés.

– Pour un masque de taille  $(2h_x + 1) \times (2h_y + 1)$ , on a



$$(f * h)(i,j) = \sum_{k=-h_x}^{h_x} \sum_{l=-h_y}^{h_y} f(i-k, j-l) h(k,l)$$

– La valeur transformée au pixel  $(i,j)$  dépend des valeurs de son environnement. Cette influence est décrite par le masque  $H$ .

- Le masque  $H$  est aussi appelé noyau de convolution.
- Ce noyau doit être symétrique pour que le filtre soit à phase nulle.
- Les masques sont une approximation discrète des RI des filtres continus.

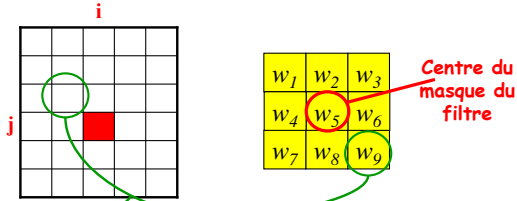
## Pré-traitements : Convolution Discrète : Implémentation

```
/* Appliquer M à l'image I pour obtenir J */
Image I, J;
float newval, H[2n+1][2m+1]
Pour (i,j) dans l'image {(*)
    newval=0;
    Pour k=-n; k<=n; k++
        Pour l=-m; l<=m; l++
            newval += I[i-k,j-l] H[n+k][m+l]
    J[i,j]=newval;
}
(*) ATTENTION !
```



## Pré-traitements : Convolution discrète

$$I'(i,j) = I(i,j) \otimes H(i,j)$$

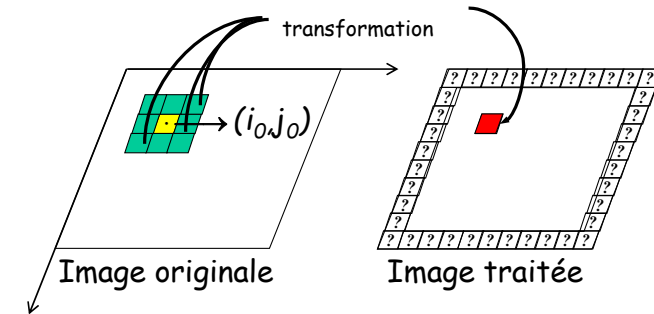


$$I'(i,j) = w_9 * I(i-1,j-1) + w_8 * I(i,j-1) + w_7 * I(i+1,j-1) + w_6 * I(i-1,j) + w_5 * I(i,j) + w_4 * I(i+1,j) + w_3 * I(i-1,j+1) + w_2 * I(i,j+1) + w_1 * I(i+1,j+1)$$

Note: Généralement, masque de dimension impaire et symétrique

55

## Pré-traitements : Transformation basée sur le voisinage d'un point (x,y)



? Gestion des bords :  
→ propagation ? mise à zéro ? On ne filtre pas les bords ? On supprime les bords ? On augmente la taille de l'image ? Et si le masque grand ?

56

## Pré-traitements : Filtrage Passe-Bas

➤ Objectif : réduction du bruit

➤ Origines du Bruit :

- ↳ Contexte d'acquisition
  - Sur ou sous illumination
  - Perturbations des capteurs (température, vieillissement, ...)
  - bougé
- ↳ Capteur
  - Distorsions (géométriques, d'intensité)
- ↳ Echantillonnage
  - Phénomène de Moiré, si les conditions de Nyquist-Shannon ne sont pas vérifiées.
  - Objet dont la taille est égale au pixel : bruit de poivre et sel
- ↳ Nature de la scène
  - Nuages en imagerie satellitaire
  - Images médicales
- ↳ Quantification
  - 256 niveaux de gris : pas gênant pour un utilisateur humain
  - 16 niveaux de gris : faux contours

57

## Pré-traitements : Filtrage Passe-Bas : Exemples de bruits

➤ Bruit « Poivre et Sel »:

– Définition. Un bruit "poivre et sel" d'ordre  $n$  est obtenu en ajoutant  $n$  pixels blancs et  $n$  pixels noirs aléatoirement dans une image. On le caractérise souvent par le pourcentage de pixels remplacés.



59

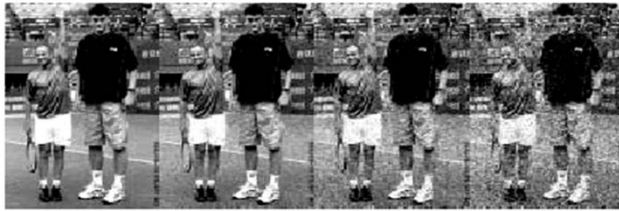
## Pré-traitements : Filtrage Passe-Bas : Exemples de bruits

### ➤ Bruit Gaussien :

- Loi de distribution Gaussienne de variance  $\sigma$  et moyenne  $\mu$  :

$$G_{\sigma, \mu}(s) = \frac{1}{\sqrt{2\pi}\sigma} e^{-\frac{(s-\mu)^2}{2\sigma^2}}$$

- Définition. Le bruit Gaussien est obtenu en ajoutant à chaque pixel une valeur aléatoire suivant une loi de probabilité Gaussienne.



Originale  $\sigma = 20$   $\sigma = 40$   $\sigma = 60$

## Pré-traitements : Filtrage Passe-Bas : lissage

### ➤ Filtre Moyeneur : Average

\* Réponse impulsionnelle:

$$h(x, y) = \frac{1}{\lambda^2} \text{si } (x, y) \in [-\lambda/2, +\lambda/2]^2$$

$$h(x, y) = 0 \text{ sinon}$$

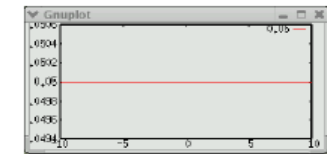
\* Exemples de masque de convolution discrets:

$$\frac{1}{9} * \begin{bmatrix} 1 & 1 & 1 \\ 1 & 1 & 1 \\ 1 & 1 & 1 \end{bmatrix} \quad \frac{1}{25} * \begin{bmatrix} 1 & 1 & 1 & 1 & 1 \\ 1 & 1 & 1 & 1 & 1 \\ 1 & 1 & 1 & 1 & 1 \\ 1 & 1 & 1 & 1 & 1 \\ 1 & 1 & 1 & 1 & 1 \end{bmatrix}$$

Filtre 3x3

Filtre 5x5

\* Représentation graphique de la réponse impulsionnelle (en 1d)



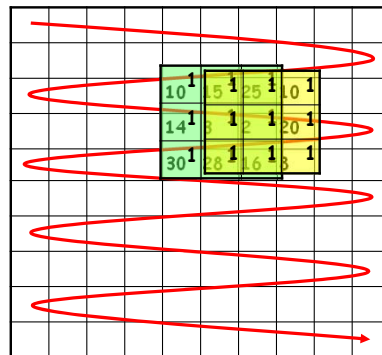
## Pré-traitements : Exemple d'application: Average

$$\frac{1}{9} \begin{bmatrix} 1 & 1 & 1 \\ 1 & 1 & 1 \\ 1 & 1 & 1 \end{bmatrix} \otimes$$

Masque de convolution  
(moyenne)

$$(10*1+15*1+25*1+14*1+3*1+2*1+30*1+28*1+16*1)/9 = 143/9$$

$$(15*1+25*1+10*1+3*1+2*1+20*1+28*1+16*1+8*1)/9 = 127/9$$



image

## Pré-traitements : Filtre moyeneur : Exemple

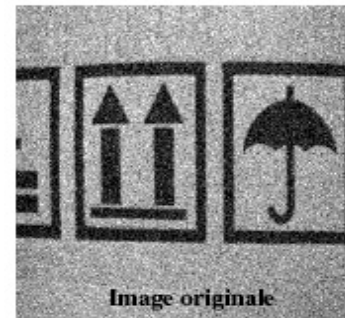
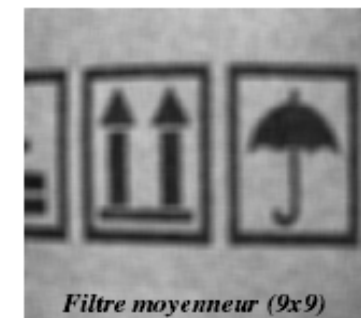


Image originale



Filtre moyeneur (9x9)

\* Coefficient de dispersion :

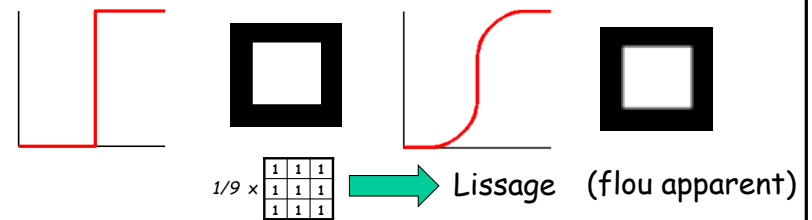
$$\sigma = \frac{1}{\lambda^2}$$



## Pré-traitements : Filtre moyeneur : Exemple



## Pré-traitements : Filtre moyeneur



Plus le filtre grossit, plus le lissage devient important et plus le flou s'accroît !

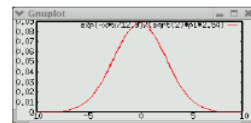
## Pré-traitements : Filtrage Passe-Bas : lissage

### ➤ Filtre gaussien :

\* Réponse impulsionnelle :

$$h(x, y) = \frac{1}{2\pi\sigma^2} \exp\left(-\frac{x^2 + y^2}{2\sigma^2}\right)$$

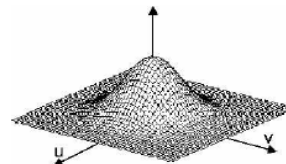
\* Représentation graphique de la réponse impulsionnelle (en 1d)



\* Exemples de masque de convolution discrets :

$$\begin{pmatrix} 1 & 1 \\ 1 & 1 \end{pmatrix} * \begin{pmatrix} 1 & 1 \\ 1 & 1 \end{pmatrix} = \begin{pmatrix} 1 & 2 & 1 \\ 2 & 4 & 2 \\ 1 & 2 & 1 \end{pmatrix}$$

$$\begin{pmatrix} 1 \\ 2 \\ 1 \end{pmatrix} * \begin{pmatrix} 1 & 2 & 1 \end{pmatrix} = \begin{pmatrix} 1 & 2 & 1 \\ 2 & 4 & 2 \\ 1 & 2 & 1 \end{pmatrix}$$



## Pré-traitements : Filtre Gaussien : Exemple

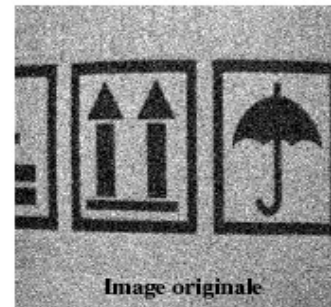
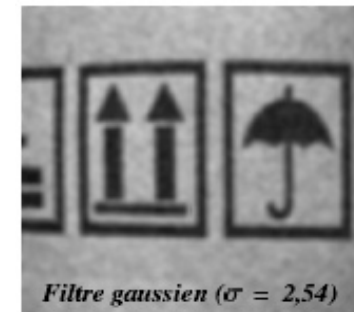


Image originale



Filtre gaussien ( $\sigma = 2,54$ )

\* Coefficient de dispersion :

$$\sigma = \frac{1}{4\pi\sigma^2}$$

## Pré-traitements : Filtre Gaussien : Exemple

### ➤ Influence du nombre d'application d'un même masque vs taille du masque

- Convolutions itérées par des filtres  $3 \times 3$

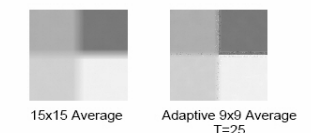
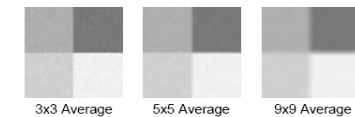
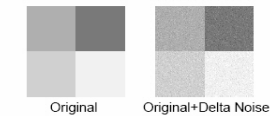


- Convolutions par des Gaussiennes de  $\sigma$  variable



## Pré-traitements : Filtre adaptatif

$$I'(i,j) = \begin{cases} \frac{1}{M} \sum_{(n,m) \in S} I(n,m) & \text{Si } \left| \frac{1}{M} \sum_{(n,m) \in S} I(n,m) - I(i,j) \right| < T \\ I(i,j) & \text{Sinon} \end{cases}$$



Avec :

S = voisinage du pixel (i,j)

M = nombre de pixels dans le voisinage S

T = valeur de seuil prédéfinie

## Pré-traitements : Filtrage Passe-haut

### ➤ Objectifs :

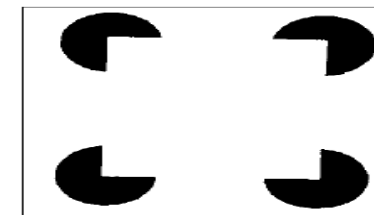
Mettre en avant les détails de l'image, les variations brutales d'intensité.

#### ↳ Filtres Différentiels : Détection de contours

- Types de contours
- Dérivée première : Gradient
- Dérivée seconde : Laplacien

#### ↳ Rehaussement de contraste

## Pré-traitements : Qu'est ce qu'un contour ?



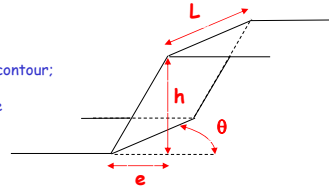
## Pré-traitements : Notion de Contours

### ➤ Définitions :

- Les contours se caractérisent les discontinuités de la fonctions d'intensité de l'image.
- Ils proviennent des discontinuités de la fonction de réflectance (ombre, texture) ou des discontinuités de profondeur (bord d'objets)

### Les paramètres caractérisant le contour sont :

- son orientation  $\theta$  par rapport à un axe de l'image;
- son épaisseur  $e$ , mesurée perpendiculairement au contour;
- sa longueur  $L$ , mesurée le long du contour;
- sa hauteur  $h$  exprimant la différence de luminance entre le niveau haut et le niveau bas.



### ➤ 3 types de contours :

#### Discontinuité d'ordre 0 :

- Contours en « marche d'escalier »

#### Discontinuité d'ordre 1

- Contours en toit
- Contours en pointe

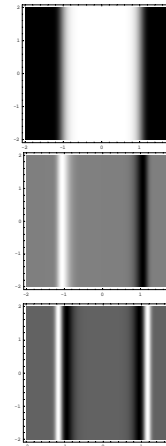
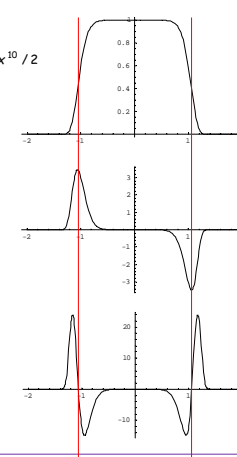


## Pré-traitements : Filtres différentiels

$$f(x, y) = e^{-x^{10}/2}$$

$$\frac{\partial f}{\partial x}$$

$$\frac{\partial^2 f}{\partial x^2}$$



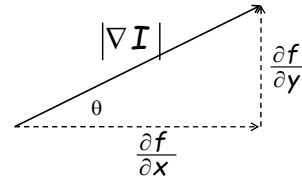
Dérivée  
première

Dérivée  
seconde

## Pré-traitements : Approche par le gradient

### Gradient

$$\nabla I = \begin{bmatrix} \frac{\partial I}{\partial x} \\ \frac{\partial I}{\partial y} \end{bmatrix}$$



### Module

$$|\nabla I| = \sqrt{\left(\frac{\partial I}{\partial x}\right)^2 + \left(\frac{\partial I}{\partial y}\right)^2} \approx \left|\frac{\partial I}{\partial x}\right| + \left|\frac{\partial I}{\partial y}\right|$$

### Orientation

$$\theta = \tan^{-1} \left( \frac{\frac{\partial I}{\partial y}}{\frac{\partial I}{\partial x}} \right)$$

## Pré-traitements : Approximation du Gradient

### Approximation en x par différence finie:

$$\frac{\partial f}{\partial x} = \lim_{h \rightarrow 0} \frac{f(x+h, y) - f(x-h, y)}{2h} \Rightarrow \frac{\partial I}{\partial x} \approx \frac{I(x+1, y) - I(x-1, y)}{2}$$

$$\Delta_x = 1 \rightarrow \text{Masque de convolution} \rightarrow \begin{bmatrix} 1 & 0 & -1 \end{bmatrix}$$

$$\text{ou } \frac{\partial f}{\partial x} = \lim_{h \rightarrow 0} \frac{f(x, y) - f(x-h, y)}{h} \Rightarrow \frac{\partial I}{\partial x} \approx I(x, y) - I(x-1, y)$$

$$\Delta_x = 1 \rightarrow \text{Masque de convolution} \rightarrow \begin{bmatrix} 1 & -1 \end{bmatrix} \text{ ou } \begin{bmatrix} -1 & 1 \end{bmatrix}$$

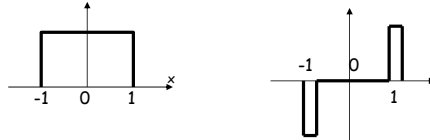
### Approximation en Y:

$$\text{Masque de convolution} \rightarrow \begin{bmatrix} 1 & -1 \\ -1 & 1 \end{bmatrix} \text{ ou } \begin{bmatrix} -1 & 1 \\ 1 & -1 \end{bmatrix} \text{ ou } \begin{bmatrix} -1 & 0 \\ 0 & 1 \end{bmatrix} \text{ ou } \begin{bmatrix} 1 & 0 \\ 0 & -1 \end{bmatrix}$$

## Pré-traitements : Masques classiques

### Opérateur de Prewitt:

↳ Dérivée d'un opérateur de lissage de type moyennneur



↳ Masque à phase nulle : contours centrés

1	1	1
0	0	0
-1	-1	-1

Masque Nord

-1	0	1
-1	0	1
-1	0	1

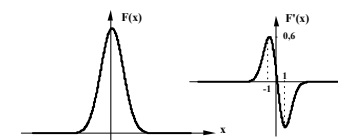
Masque Est



## Pré-traitements : Masques classiques

### Opérateur de Sobel:

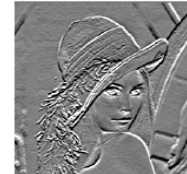
↳ Dérivée d'un opérateur de lissage de type Gaussien



-1	-2	-1	-1	0	1
0	0	0	-2	0	2
1	2	1	-1	0	1

$$\frac{\partial f}{\partial y}$$

+128 pour affichage



$$\frac{\partial f}{\partial x}$$

+128 pour affichage



$$\nabla f = \left| \frac{\partial f}{\partial x} \right| + \left| \frac{\partial f}{\partial y} \right|$$



## Pré-traitements : Filtres séparables

Si la matrice de convolution est séparable :

$$\text{Alors : } h[x, y] = h_{col}[x] \cdot h_{lig}[y]$$

$$\begin{aligned} \text{Et : } (I * h)[x, y] &= \sum_{i=x_1}^{x_2} \sum_{j=y_1}^{y_2} h[i, j] \cdot I[x-i, y-j] \\ &= \sum_{i=x_1}^{x_2} h_{col}[i] \sum_{j=y_1}^{y_2} h_{lig}[j] \cdot I[x-i, y-j] \end{aligned}$$

Exemple de séparation sur le noyau de Sobel :

$$h_x = \begin{bmatrix} -1 & 0 & 1 \\ -2 & 0 & 2 \\ -1 & 0 & 1 \end{bmatrix} = D(y) * S(x) \text{ avec } D(y) = [1, 2, 1]^T \text{ et } S(x) = [-1, 0, 1]$$

→ Lissage en y et dérivée en x : moins sensible au bruit

## Pré-traitements : Autres Détection de contours

### Opérateurs de Kirch

-3	-3	5
-3	0	5
-3	-3	5

-3	-3	-3
-3	0	-3
5	5	5

-3	-3	-3
5	0	-3
5	5	-3

5	5	-3
5	0	-3
-3	-3	-3

### Filtre directionnel :

↳ Précision de l'orientation du contours

↳ coût d'implantation élevé

## Pré-traitements : Autres Détection de contours

### ►filters compas

$$\begin{array}{cccc}
 \begin{bmatrix} 1 & 1 & 1 \\ 0 & 0 & 0 \\ -1 & -1 & -1 \end{bmatrix} & \begin{bmatrix} 1 & 1 & 0 \\ 1 & 0 & -1 \\ 0 & -1 & -1 \end{bmatrix} & \begin{bmatrix} 1 & 0 & -1 \\ 1 & 0 & -1 \\ 1 & 0 & -1 \end{bmatrix} & \begin{bmatrix} 0 & -1 & -1 \\ 1 & 0 & -1 \\ 1 & 1 & 0 \end{bmatrix} \\
 \uparrow \text{N} & \nwarrow \text{NW} & \leftarrow \text{W} & \swarrow \text{SW} \\
 \\ 
 \begin{bmatrix} -1 & -1 & -1 \\ 0 & 0 & 0 \\ 1 & 1 & 1 \end{bmatrix} & \begin{bmatrix} -1 & -1 & 0 \\ -1 & 0 & 1 \\ 0 & 1 & 1 \end{bmatrix} & \begin{bmatrix} -1 & 0 & 1 \\ -1 & 0 & 1 \\ -1 & 0 & 1 \end{bmatrix} & \begin{bmatrix} 0 & 1 & 1 \\ -1 & 0 & 1 \\ -1 & -1 & 0 \end{bmatrix} \\
 \downarrow \text{S} & \searrow \text{SE} & \rightarrow \text{E} & \nearrow \text{NE}
 \end{array}$$

$$g(x,y) = \max_k g_k(x,y)$$

Note: Le choix de  $k$  donne l'orientation du gradient

## Pré-traitements : Approche par le Laplacien ( $\nabla^2 f$ )

$$\nabla^2 I = \frac{\partial^2 I}{\partial x^2} + \frac{\partial^2 I}{\partial y^2} \approx I_x(x+1,y) - I_x(x,y) + I_y(x,y+1) - I_y(x,y)$$

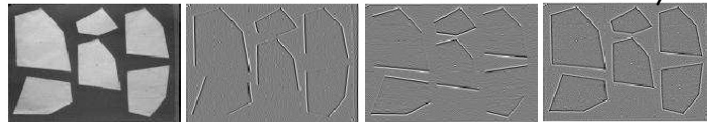
$$\begin{aligned}
 \nabla^2 I &\approx [I(x+1,y) - I(x,y)] - [I(x,y) - I(x-1,y)] \\
 &\quad + [I(x,y+1) - I(x,y)] - [I(x,y) - I(x,y-1)] \\
 \nabla^2 I &\approx [I(x+1,y) - 2I(x,y) + I(x-1,y)] + [I(x,y+1) - 2I(x,y) + I(x,y-1)]
 \end{aligned}$$

$$\nabla^2 I \approx \text{Filtre avec } \begin{pmatrix} 1 & -2 & 1 \end{pmatrix} \text{ puis } \begin{pmatrix} 1 & 0 & 0 \\ -2 & 1 & -4 & 1 \\ 1 & 0 & 0 \end{pmatrix}$$

$$\text{autre forme en 8 - voisinage : } \begin{pmatrix} 1 & 1 & 1 \\ 1 & -8 & 1 \\ 1 & 1 & 1 \end{pmatrix}$$

## Pré-traitements : Laplacien ( $\nabla^2 f$ )

$$\begin{array}{cccc}
 \text{Image Origine} & \frac{\partial^2 I}{\partial x^2} & \frac{\partial^2 I}{\partial y^2} & \frac{\partial^2 I}{\partial x^2} + \frac{\partial^2 I}{\partial y^2}
 \end{array}$$



Sobel

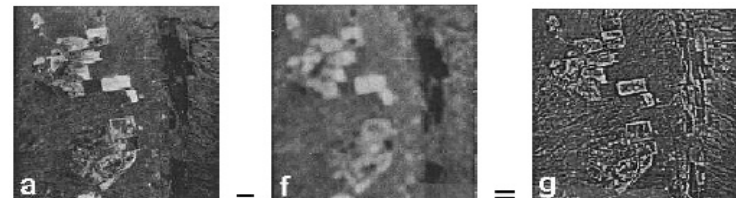
Laplacien  $|\nabla^2 f|$

$$\begin{pmatrix} 1 & 1 & 1 \\ 1 & -8 & 1 \\ 1 & 1 & 1 \end{pmatrix}$$

## Pré-traitements : Rehaussement de contraste

Filtre « high Boost » :  $K \cdot f(x,y) - \text{PasseBas}(f(x,y))$   
 $K = 1$  : Passe haut  $K > 1$  rehaussement de contraste

$$\begin{aligned}
 g(x,y) &= Kf(x,y) - f(x,y) * h(x,y) \\
 &= (K-1)f(x,y) + (f(x,y) * \delta(x,y)) - f(x,y) * h(x,y) \\
 &= (K-1)f(x,y) + f(x,y) * (\delta(x,y) - h(x,y)) \\
 \Updownarrow \mathcal{F} \\
 G(u,v) &= (K-1)F(u,v) + F(u,v) \underbrace{[1 - H(u,v)]}_{\text{Passe-haut}}
 \end{aligned}$$



## Pré-traitements : Rehaussement de contraste

Edge Image  $f(x)$



0	0	0
0	1	0
0	0	0

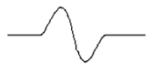
1<sup>st</sup> derivative  $\frac{\partial f}{\partial x}$



Ex :

0	0	0
-1	0	1
0	0	0

2<sup>nd</sup> derivative (Laplacian)  $\frac{\partial^2 f}{\partial x^2}$



Ex :

0	1	0
1	-4	1
0	1	0

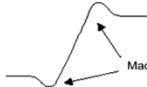
$-\frac{\partial^2 f}{\partial x^2}$



Ex :

0	-1	0
-1	4	-1
0	-1	0

$f(x) - \frac{\partial^2 f}{\partial x^2}$



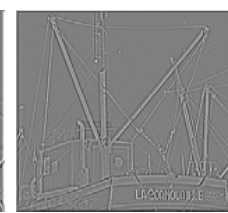
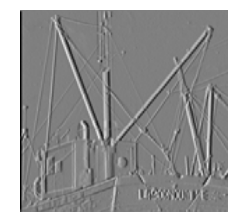
Mach Bands

Ex :

0	-1	0
-1	5	-1
0	-1	0



## Pré-traitements : Rehaussement de contraste



0	0	0
0	1	0
0	0	0

0	0	0
-1	0	1
0	0	0

0	1	0
1	-4	1
0	1	0

0	-1	0
-1	4	-1
0	-1	0

0	-1	0
-1	5	-1
0	-1	0

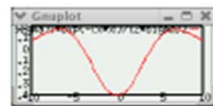
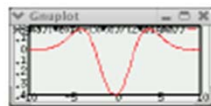
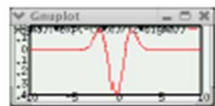
Utilisé dans la plupart  
des caméras  
numériques, vidéos  
photocopieurs...



## Pré-traitements : Influence de l'échelle

### Contraste : Notion Multi-échelle :

$$G_f[x, y] = f[x, y] - \gamma \cdot \Delta f[x, y] \quad (\gamma : \text{gain})$$



↳ Mécanisme de préservation de l'échelle